

## ЛИТЕРАТУРА

1. Алиев Ю. М., Зюндер Д. Параметрическое возбуждение колебаний в плазме полем модулированной СВЧ волны. ЖЭТФ, 1971, т. 61, вып. 3.
2. Алиев Ю. М., Ферленгэ Э. Параметрическое возбуждение поверхностных колебаний плазмы внешним высокочастотным полем. ЖЭТФ, 1969, т. 57, вып. 5.
3. Алиев Ю. М., Градов О. М., Кирий А. Ю. Дисперсионная теория поверхностных волн неоднородной плазмы, находящейся в сильном ВЧ поле. ПМТФ, 1973, № 1.
4. Степанов К. Н. О влиянии плазменного резонанса на распространение поверхностных волн в неоднородной плазме. Ж. техн. физ., 1965, т. 35, вып. 6.

УДК 534.222.2

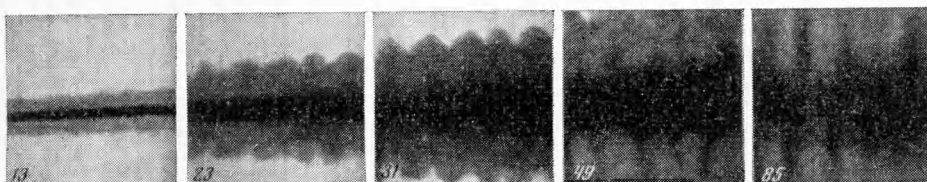
## ОБ ОДНОМ ВИДЕ СТРАТООБРАЗОВАНИЯ ПРИ ЭЛЕКТРИЧЕСКОМ ВЗРЫВЕ ПРОВОЛОЧЕК

*Н. В. Гревцев, В. Д. Золотухин, Ю. М. Каширников,  
В. А. Летягин*

(Москва)

В переходном режиме электрического взрыва медной проволочки обнаружено явление перераспределения продуктов взрыва в процессе разлета. Наблюдение подтверждено скоростными оптическими съемками и видом осажденной пленки.

По существующим представлениям о характере разрушения проводников при электрическом взрыве различается взрыв допороговый, который проявляется в изгибах и дальнейших обрывах проволочки, и взрыв запороговый, который сопровождается быстрым разделением проволочки на отдельные страты [1].

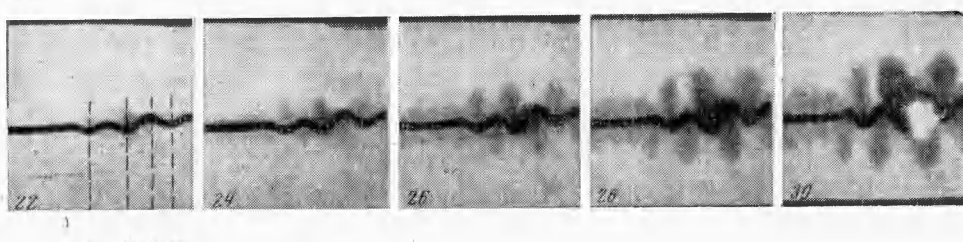


Фиг. 1

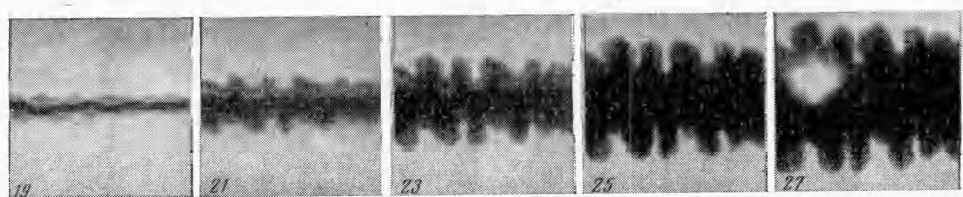
В работах авторов наблюдалось явление изгиба и стратообразования одновременно. Стратообразование явилось результатом эффекта кумуляции продуктов взрыва в процессе разлета.

Оптическая регистрация процесса проводилась камерой СФР с частотой съемки 2 млн. кадр./сек. Методика совместной регистрации электрических параметров и оптической съемки описана в [2]. Взрыв проволочки осуществлялся от батареи конденсаторов 60 мкФ при индуктивности контура 1 мкГн.

На фиг. 1 приведены последовательные стадии развития взрыва медной проволочки в воздухе. Фотографировался центральный участок длиной 15 мм. На фотографиях отмечено время в микросекундах от начала импульса тока. Для устранения плазменной стадии производилось отключение тока в конце первой полуволны взрывом последовательно включенной более тонкой вспомогательной проволочки. Напряжение  $U_0 = 7.0$  кв. Параметры основной и вспомогательной проволочек: диаметр  $d = 0.500 \pm 0.005$  и  $0.475 \pm 0.005$  мм и длина  $l = 50$  и 150 мм. В момент отключения тока (13 мкsec) проволочка слегка изогнута и окружена паром. Затем наблюдается развитие паровой оболочки. В местах первоначального изгиба движущийся по нормали



Фиг. 2



Фиг. 3

к поверхности проволочки пар образует кумулятивные выбросы, направленные перпендикулярно первоначальной оси.

Выбросы вызваны столкновением потоков пара от участков проволочки, расположенных под углом один к другому. Вместе с развитием паровой оболочки наблюдается увеличение диаметра проволочки, принимающей вид расширяющегося полого цилиндра [3], оболочка которого состоит из жидких капель различной дисперсности. При больших увеличениях диаметра проволочки капли вовлекаются в движение паровыми кумулятивными струями, образуя отчетливо заметные на фотографиях уплотнения. На конечном этапе (85 мкесек) в уплотнении сосредоточен почти весь материал крупнодисперсных фракций разрушения. Это дополнительно подтверждается тем, что запыление стеклянной пластины, расположенной вблизи проволочки, имеет вид четко выраженных полос, перпендикулярных оси проволочки.

На фиг. 2 приведены последовательные стадии развития взрыва, когда малая длина вспомогательной проволочки не обеспечила полного отключения плазменной стадии. При этом напряжение  $U_0 = 5.7 \text{ кВ}$ , для основной проволочки  $d = 0.500 \pm 0.005 \text{ мм}$ ,  $l = 50 \text{ мм}$ , для вспомогательной  $d = 0.410 \pm 0.005 \text{ мм}$ ,  $l = 50 \text{ мм}$ . На фотографиях видны кумулятивные образования сначала паровой (22 мкесек), а затем капельной фрак-

ции продуктов взрыва (26 мкесек). По результатам измерения траектории движения выбросов графическим дифференцированием найдены скорости кумулятивных потоков пара (таблица) в проекции на вертикальную плоскость для различных сечений, указанных на фиг. 2.

Скорость расширения пара на прямолинейных участках 145 м/сек, скорость расширения проволочки 30 м/сек. Замер скоростей парокапельных струй дал значительный разброс из-за размытости границы переднего фронта. Средняя скорость 190 м/сек.

Образование кумулятивных выбросов материала зарегистрировано при взрыве проволочек без обрыва тока (фиг. 3;  $U_0 = 3.7 \text{ кВ}$ ,  $d = 0.500 \pm 0.005 \text{ мм}$ ,  $l = 50 \text{ мм}$ ). Отличие состоит в том, что вторичный пробой вносит искажение в окончательное распределение материала.

| Время, мкесек | Сечение | Скорость паровой кумулятивной струи, м/сек |
|---------------|---------|--|
| 22            | 1       | —  |
|               | 2       | 375  |
|               | 3       | 290  |
|               | 4       | 360  |
| 24            | 1       | 250  |
|               | 2       | 315  |
|               | 3       | 395  |
|               | 4       | 320  |
| 26            | 1       | 430  |
|               | 2       | 400  |
|               | 3       | 520  |
|               | 4       | 410  |
| 28            | 1       | 210  |
|               | 2       | —  |
|               | 3       | 305  |
|               | 4       | 320  |

Таким образом, в некотором диапазоне начальных условий электрического взрыва проволочек наблюдаемое стратообразование вызвано не первичными процессами разрушения, а перераспределением материала проволочки во время разлета. Отмеченное явление имеет место в переходном режиме, в котором одновременно с изгибом проволочки образуется паровая оболочка.

Поступила 31 VIII 1973

#### ЛИТЕРАТУРА

1. Абрамова К. Б., Валицкий В. П., Вандакуров Ю. В., Златин Н. А., Перегуд Б. П. Магнитогидродинамические неустойчивости при электрическом взрыве. Докл. АН СССР, 1966, т. 167, № 4, стр. 778.
2. Гревцов Н. В., Золотухин В. Д., Каширников Ю. М., Летягин В. А., Махорин Б. И. Высокоскоростная микросъемка теплового расширения проводника в процессе электрического взрыва. В сб. «Современное состояние и перспективы высокоскоростной фотографии и кинематографии и метрологии быстропротекающих процессов»; Всесоюзная науч.-техн. конференция. Москва, 1972. Тезисы докладов. М., ВНИИОФИ, 1972, стр. 96.
3. Корнев, Чейс. Метод измерения радиального распределения плотности паров в экспериментах с взрывающимися проволочками. Приборы для научных исследований, 1971, № 8, стр. 75.

УДК 536.33 + 45

#### МОДЕЛЬ КОМПАНИЙЦА ДЛЯ ТЕПЛОВОЙ ВОЛНЫ

Г. В. Федорович

(Москва)

Скорость фронта тепловой волны растет по экспонциальному закону, если по такому закону убывает плотность газа перед фронтом волны. При распространении волны в неоднородной атмосфере это может приводить к отклонению формы фронта от сферической и в конечном счете к «прорыву» атмосферы тепловой волной.

Эффект прорыва атмосферы ударной волной сильного взрыва, предсказанный в [1], обусловлен экспоненциальным ростом скорости фронта ударной волны при распространении вверх. По сравнению с таким ростом, становится несущественным медленное (степенное) изменение скорости, связанное с уменьшением удельной энергии газа при увеличении объема ударной волны. Аналогичный эффект может иметь место при развитии тепловой волны, которая при сильном взрыве предшествует ударной [2]. Как следует из рассмотрения сферической тепловой волны [3], скорость ее фронта  $v$  определяется величиной коэффициента температуропроводности  $\chi = aT^n$  вблизи фронта волны ( $T$  — средняя по объему температура газа) и величиной объема  $V$  волны

$$(1) \quad v = \chi V^{-1/3}$$

Если, следуя работе [3], считать удельную теплоемкость газа  $C$  постоянной (это ограничение не принципиально), то коэффициент температуропроводности  $\chi$  определяется через плотность газа и коэффициент пробега света  $l$  соотношением  $\chi = 16\sigma T^3 l / l^3 \rho C$  ( $\sigma$  — постоянная Стефана — Больцмана), т. е. меняется обратно пропорционально некоторой степени плотности газа. Это относится и к коэффициенту  $a$  в выражении, аппроксимирующем зависимость  $\chi$  от  $T$ . В экспоненциальной атмосфере, где  $\rho \sim \exp[-z/Z]$  величины  $\chi$  и  $a$  растут экспоненциально с высотой  $z$ , однако характерный масштаб изменения этих величин  $Z_0$  меньше, чем масштаб изменения плотности воздуха  $Z$ . Следовательно, согласно (1) в неоднородной атмосфере фронт тепловой волны распространяется вверх быстрее, чем вниз, и его форма отклоняется от сферической.

Как и в случае ударной волны, эффект «вытягивания» фронта может иметь место для тепловой волны, образовавшейся на высоте, где ее предельный радиус  $R^*$  (соответствующий переходу тепловой волны в ударную) сравнивается с масштабом изменения